

# Algorytmy optymalizacji dyskretnej, lista 4

Adrian Wilhelmi, 268479

6 stycznia 2025 r.

## Zadanie 1

### Strutura danych oraz algorytm

Celem zadania jest zaprojektowanie struktury danych reprezentującej  $k$ -wymiarową hiperkostkę jako graf skierowany oraz zaimplementowanie algorytmu Edmondsa-Karpa w celu znalezienia maksymalnego przepływu w tym grafie. Poniżej zaprezentowano zaprojektowaną strukturę.

---

```
1 Class Graph:  
2     k – wymiar hiperkostki;  
3     num_nodes – liczba wierzchołków;  
4     num_edges – liczba krawędzi;  
5     adj_list – lista sąsiedztwa;
```

---

Konstruktor klasy *Graph* generuje hiperkostkę o podanym wymiarze  $k$  zgodnie z treścią zadania oraz w odpowiedni sposób losowo inicjalizuje wartości maksymalnego przepływu dla każdej krawędzi.

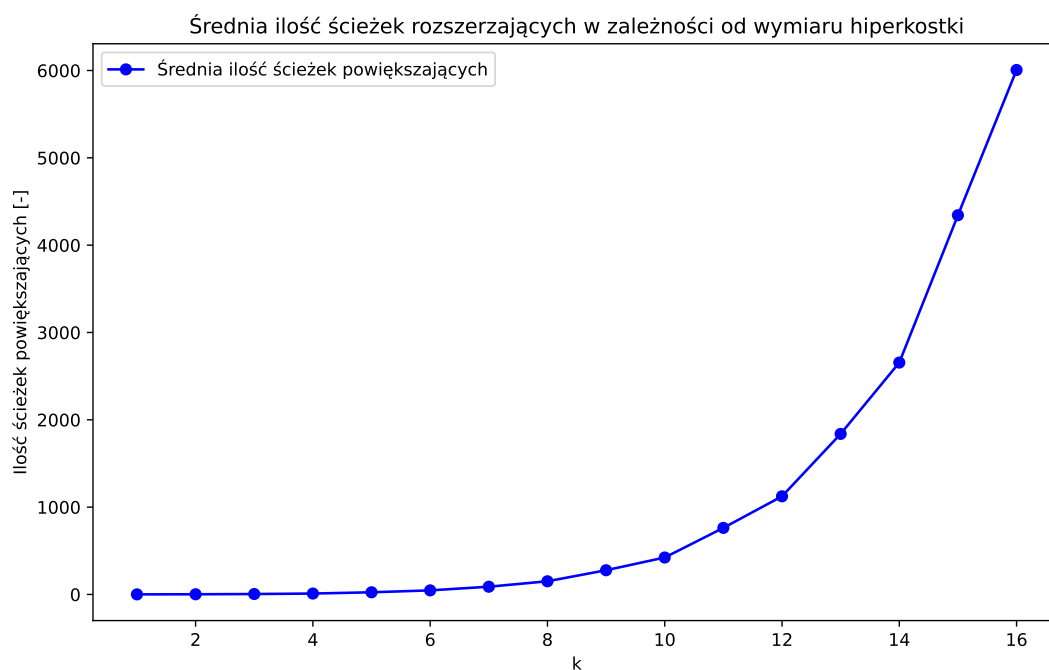
### Złożoność czasowa

Zaimplementowano algorytm Edmondsa-Karpa bazujący na metodzie Forda-Fulkersona używając BFS do znajdowania najkrótszej ścieżki powiększającej w grafie rezydualnym. Gwarantuje to złożoność  $O(|V||E|^2)$ . Z racji, że  $|V| = 2^k$  oraz  $|E| = k2^{k-1}$  otrzymujemy złożoność w zależności od wymiaru kostki  $k$ :

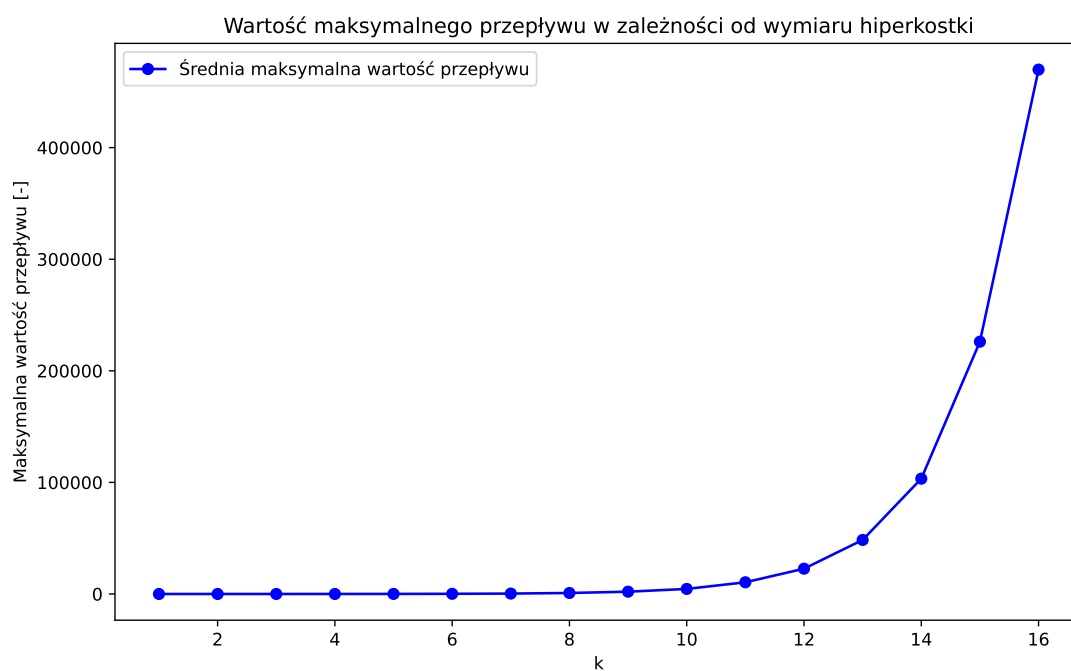
$$O(|V||E|^2) = O(2^k \cdot (k2^{k-1})^2) = O(2^k \cdot k^2 \cdot 2^{2k-2}) = O(k^2 \cdot 2^{3k-2}) = O(k^2 2^k)$$

### Wyniki oraz wnioski

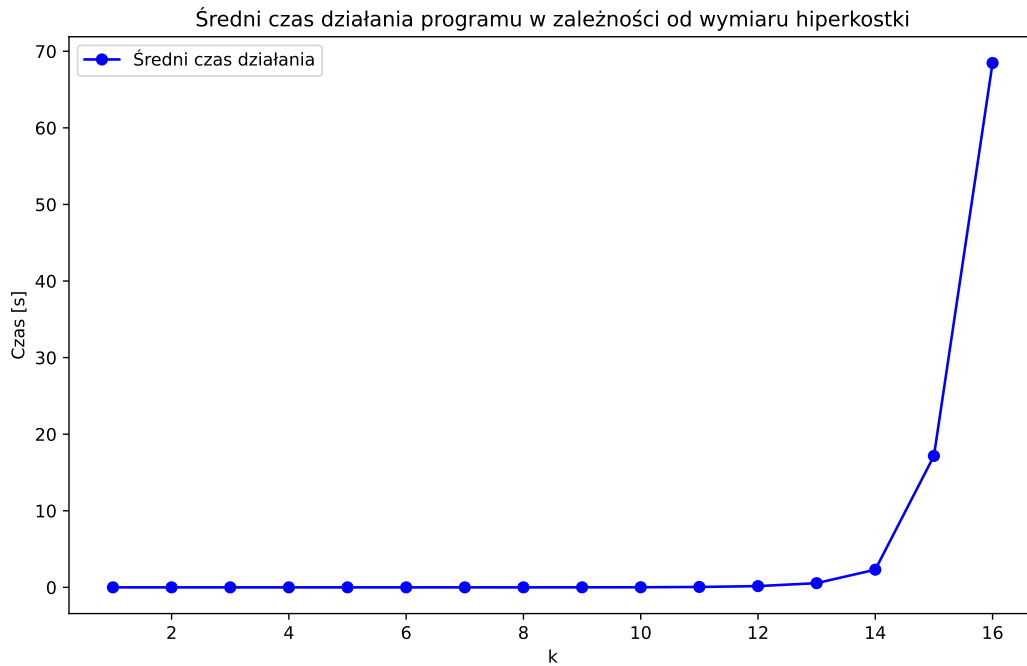
Wyniki otrzymane empirycznie przedstawiono na Rysunkach 1, 2 oraz 3. Dla każdego  $k$  wykoanno 50 niezależnych powtórzeń eksperymentów i na wykresach zapisano uśrednioną wartość. Wyniki z wykresów 1 oraz 3 potwierdzają eksponencjalny wzrost czasu wykonania algorytmu w zależności od wymiaru hiperkostki  $k$ . Wartość maksymalnego przepływu również wzrasta eksponencjalnie jak widać na Rysunku 2, co ma uzasadnienie biorąc pod uwagę sposób losowania pojemności krawędzi – pojemności są losowane z wykładniczo rosnącego zakresu ( $2^l$ ) i ponieważ liczba możliwych ścieżek między źródłem a ujściem rośnie również wykładniczo, średnia maksymalna wartość przepływu staje się proporcjonalna do  $2^k$ .



Rysunek 1: Średnia liczba ścieżek powiększających w zależności od wymiaru hiperkostki



Rysunek 2: Średnia wartość maksymalnego przepływu w zależności od wymiaru hiperkostki



Rysunek 3: Średnia liczba ścieżek powiększających w zależności od wymiaru hiperkostki

## Zadanie 2

### Algorytm Kuhna

Celem zadania jest zbadanie eksperymentalnie wielkości maksymalnego skojarzenia w losowym grafie dwudzielnym  $G = (V_1 \cup V_2, E)$ , o zadanym  $|V_1| = |V_2| = 2^k$  oraz stopniu wierzchołków  $i$  ze zbioru  $V_1$ . Zaimplementowano w tym celu algorytm Kuhna, który używając DFS dla każdego wierzchołka z  $V_1$  szuka połączenia z wierzchołkiem  $V_2$  przepinając ewentualnie wcześniej przypisane połączenia w przypadku kolizji. Z każdym przypisaniem zwiększany jest licznik skojarzeń.

### Złożoność czasowa

DFS wywoływany jest na każdym wierzchołku z  $V_1$ . W najgorszym wypadku dla każdego  $v \in V_1$  odwiedzony zostanie każdy z jego sąsiadów, co wynosi  $i$ .  $|V_1| = 2^k$ , co daje łącznie złożoność

$$O(i2^k).$$

### Wyniki oraz wnioski

Na Rysunkach od 4 do 11 obserwowalny jest logarytmiczny wzrost wartości maksymalnego skojarzenia w zależności od stopnia wierzchołków ze zbioru  $V_1$  – intuicyjnie wzrost stopnia ogranicza dostępność wierzchołków z  $V_2$  co skutkuje spowolnionym tempem wzrostu wartości maksymalnego skojarzenia. Na Rysunkach od 12 do 21 zauważyć można eksponencjalny wzrost czasu wykonania algorytmu w zależności od parametru  $k$ , co jest zgodne z teoretycznymi obliczeniami.

## Zadanie 3

Dla problemów zdefiniowanych w Zadaniach 1 oraz 2 napisano równoważne modele programowania liniowego. Model w pakiecie *JuMP* z języka *Julia* zostanie wygenerowany dla programu po włączeniu go z odpowiednią komendą.

### Model dla zadania 1

$$\begin{aligned} G &= (V, E) - \text{wejściowy graf} \\ s &\in V - \text{źródło} \\ t &\in V - \text{ujście} \\ x_{i,j} &- \text{przepływ dla krawędzi } (i, j) \\ c_{i,j} &- \text{pojemność krawędzi } (i, j) \end{aligned}$$

$x_{i,j}$  jest zmienną decyzyjną. Ograniczenia:

$$\begin{aligned} (\forall i, j)(c_{i,j} \geq x_{i,j} \geq 0) \\ (\forall i \in V \setminus (\{s, t\}))(\sum_{(i,j) \in E} x_{i,j} = \sum_{(j,i) \in E} x_{j,i}) \end{aligned}$$

Funkcja celu:

$$\max \sum_{(s,i) \in E} x_{s,i}$$

### Model dla zadanie 2

$$\begin{aligned} G &= (V_1 \cup V_2, E) - \text{wejściowy graf} \\ x_{i,j} &- \text{Czy krawędź } (i, j) \in E \text{ należy do skojarzenia} \end{aligned}$$

$x_{i,j}$  jest binarną zmienną decyzyjną. Ograniczenia:

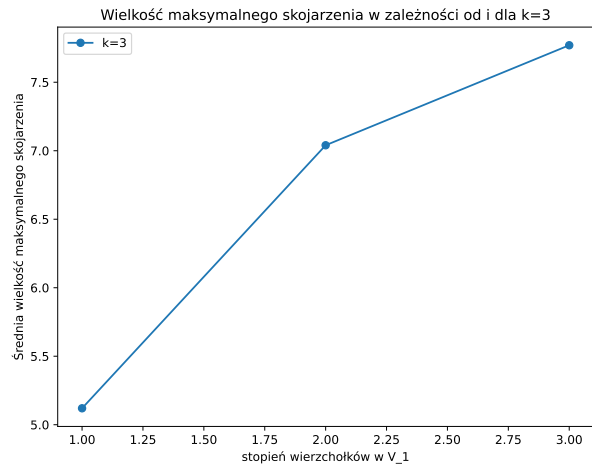
$$\begin{aligned} (\forall i \in V_1)(\sum_{(i,j) \in E} x_{i,j} \leq 1) \\ (\forall j \in V_2)(\sum_{(i,j) \in E} x_{i,j} \leq 1) \end{aligned}$$

Funkcja celu:

$$\max \sum_{(i,j) \in E} x_{i,j}$$

### Obserwacje oraz wnioski

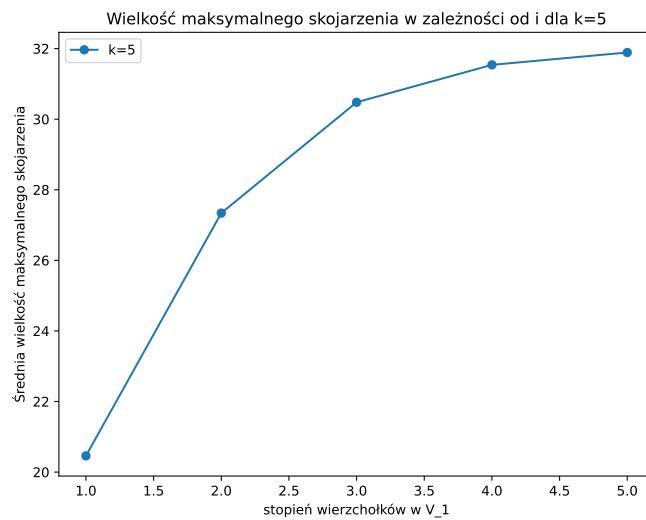
Modele LP zwracają te same wartości maksymalnego przepływu oraz wielkości maksymalnego skojarzenia — implikuje to poprawność zaimplementowanych algorytmów oraz modeli. Algorytmy zaimplementowane w C++ znajdują rozwiązania szybciej niż modele LP, co ma sens, ponieważ C++ pozwala na większą kontrolę pamięci, a JuMP nie jest zoptymalizowany pod kątem szybkości obliczeń. Rozwiązania zwrócone przez algorytmy napisane w C++ różnią się minimalnie od tych zwracanych przez modele LP, co sugeruje różne podejście w obliczaniu przepływów oraz skojarzeń w grafie.



Rysunek 4: Wielkość maksymalnego skojarzenia w zależności od  $i$  dla  $k=3$



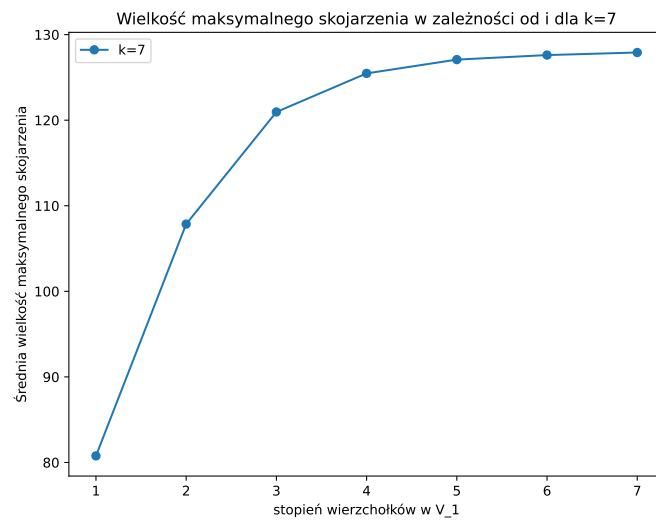
Rysunek 5: Wielkość maksymalnego skojarzenia w zależności od  $i$  dla  $k = 4$



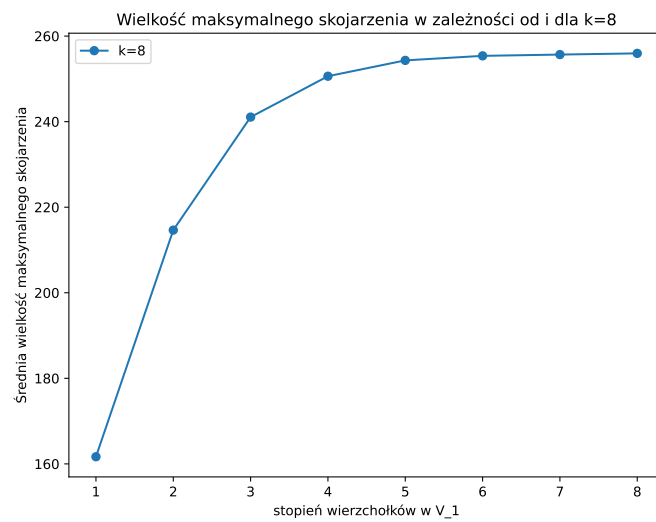
Rysunek 6: Wielkość maksymalnego skojarzenia w zależności od  $i$  dla  $k = 5$



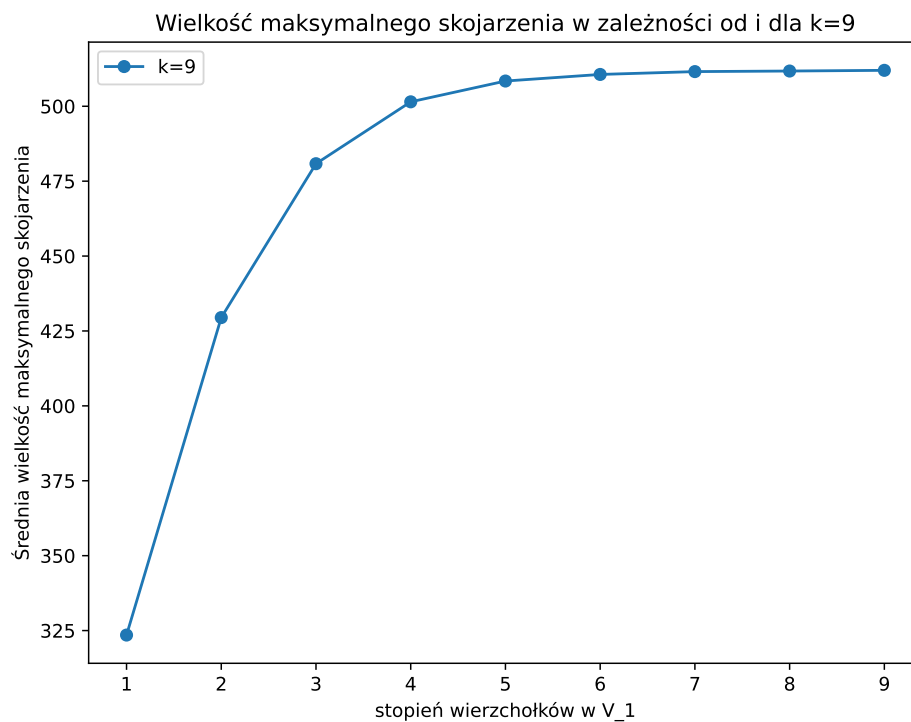
Rysunek 7: Wielkość maksymalnego skojarzenia w zależności od  $i$  dla  $k = 6$



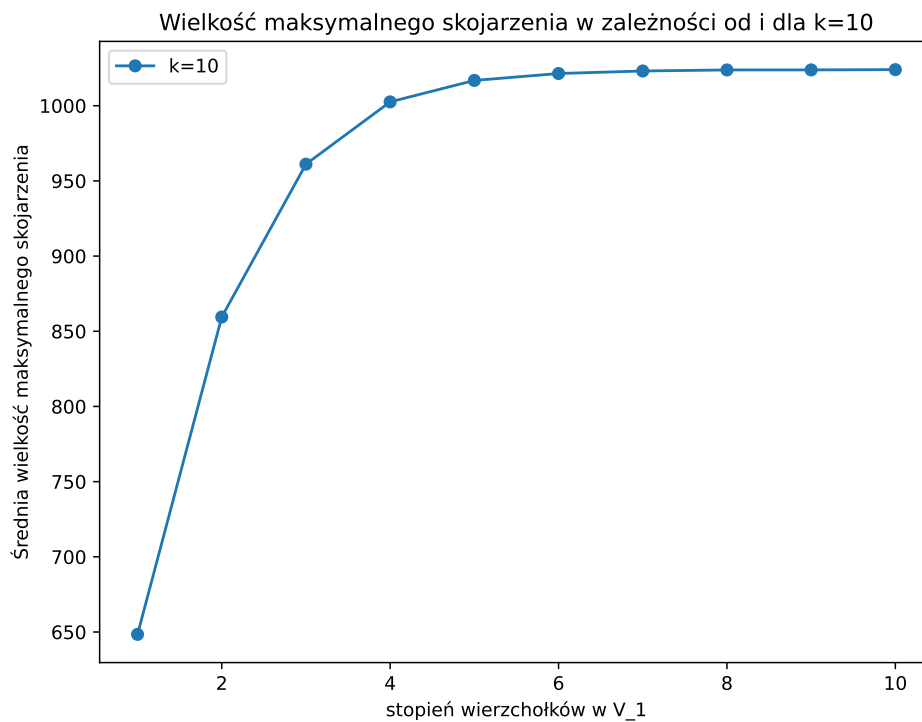
Rysunek 8: Wielkość maksymalnego skojarzenia w zależności od  $i$  dla  $k = 7$



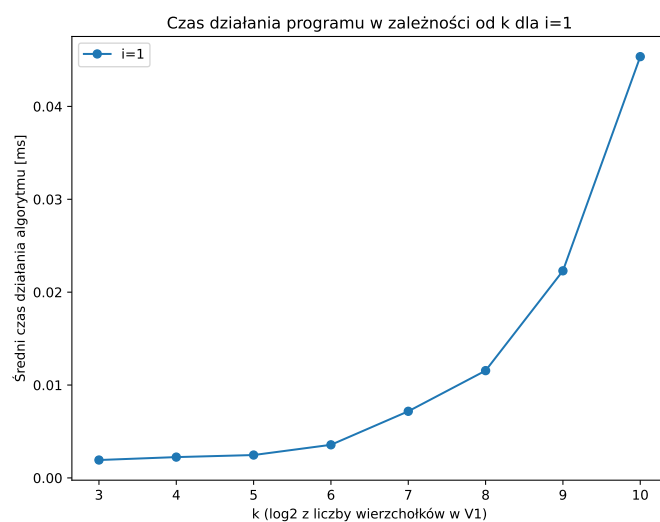
Rysunek 9: Wielkość maksymalnego skojarzenia w zależności od  $i$  dla  $k = 8$



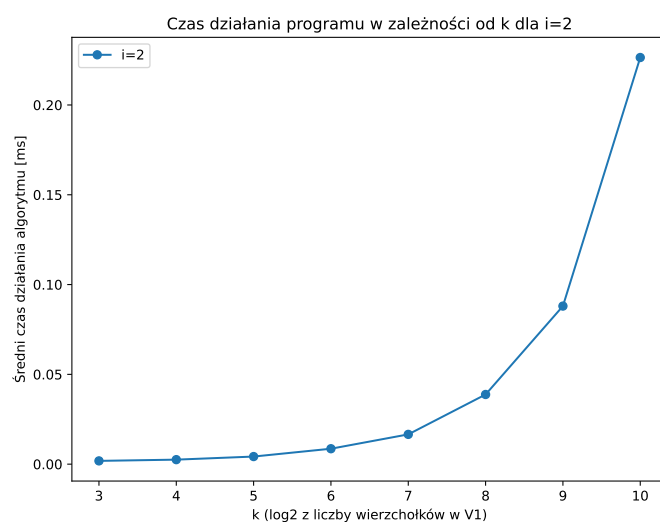
Rysunek 10: Wielkość maksymalnego skojarzenia w zależności od  $i$  dla  $k = 9$



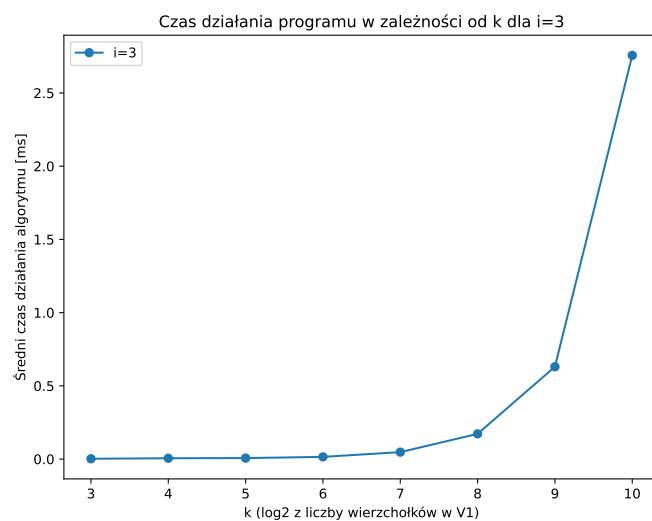
Rysunek 11: Wielkość maksymalnego skojarzenia w zależności od  $i$  dla  $k = 10$



Rysunek 12: Czas wykonania algorytmu w zależności od  $i$  dla  $k = 1$

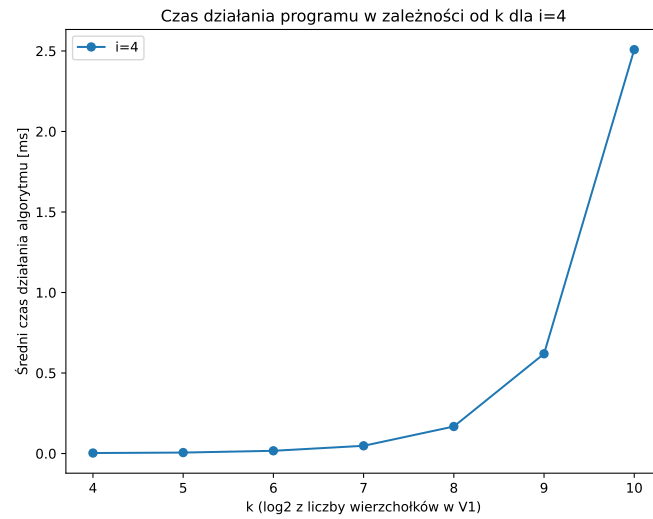


Rysunek 13: Czas wykonania algorytmu w zależności od  $i$  dla  $k = 2$

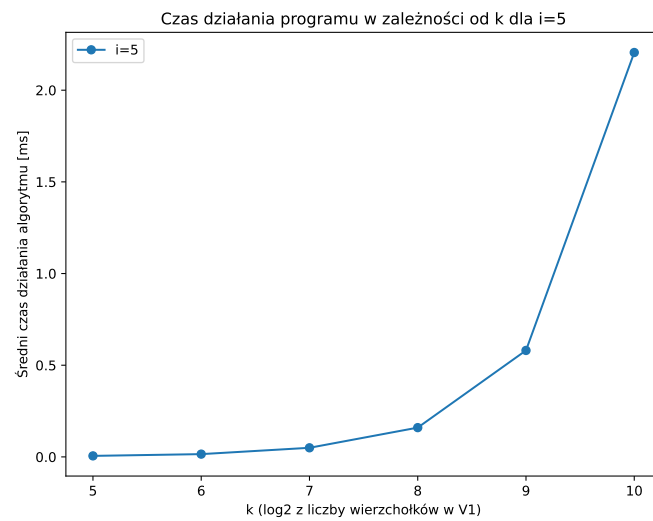


Rysunek 14: Czas wykonania algorytmu w zależności od  $i$  dla  $k = 3$

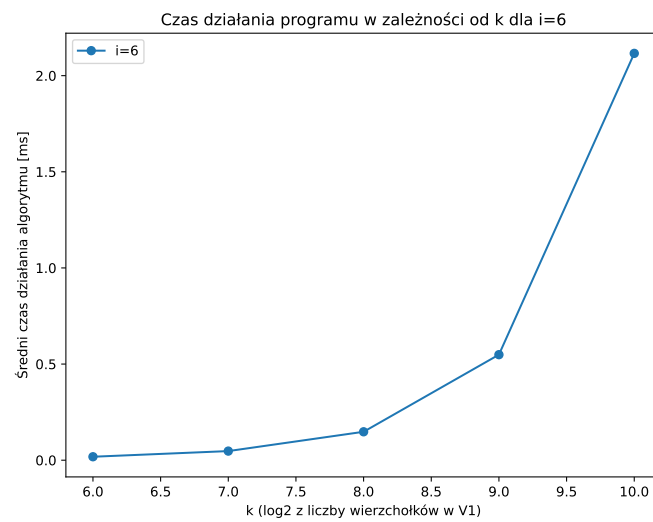




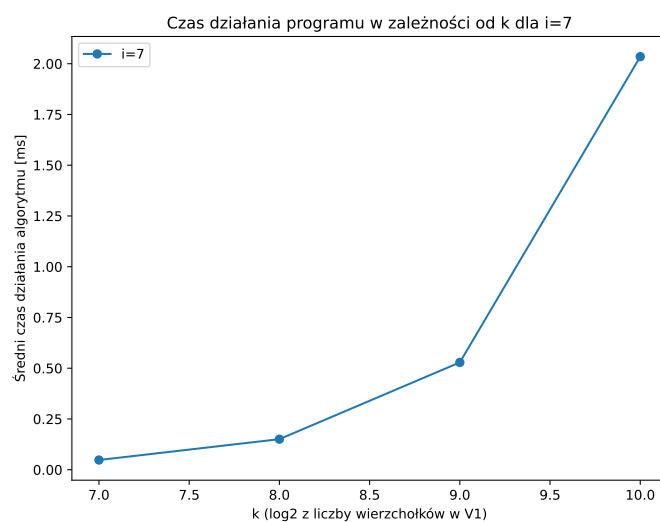
Rysunek 15: Czas wykonania algorytmu w zależności od  $i$  dla  $k = 4$



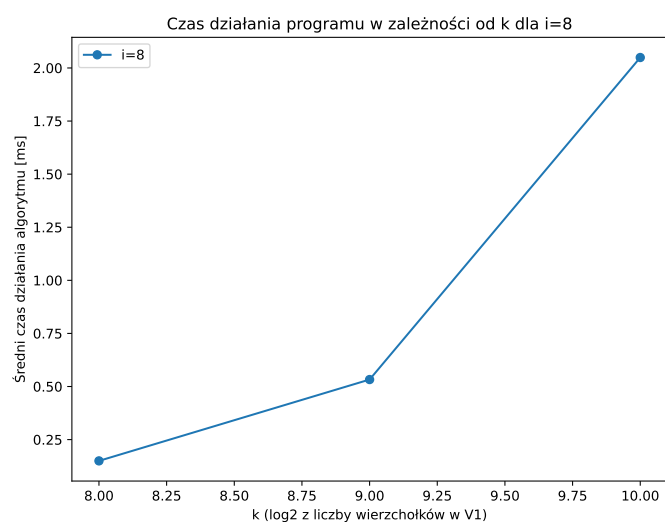
Rysunek 16: Czas wykonania algorytmu w zależności od  $i$  dla  $k = 5$



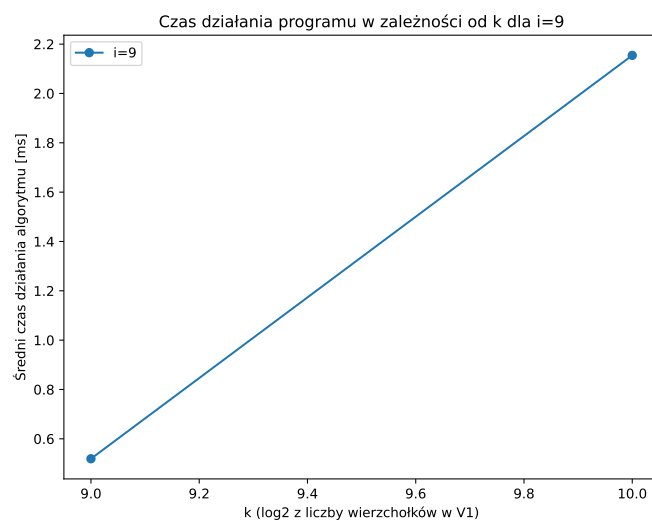
Rysunek 17: Czas wykonania algorytmu w zależności od  $i$  dla  $k = 6$



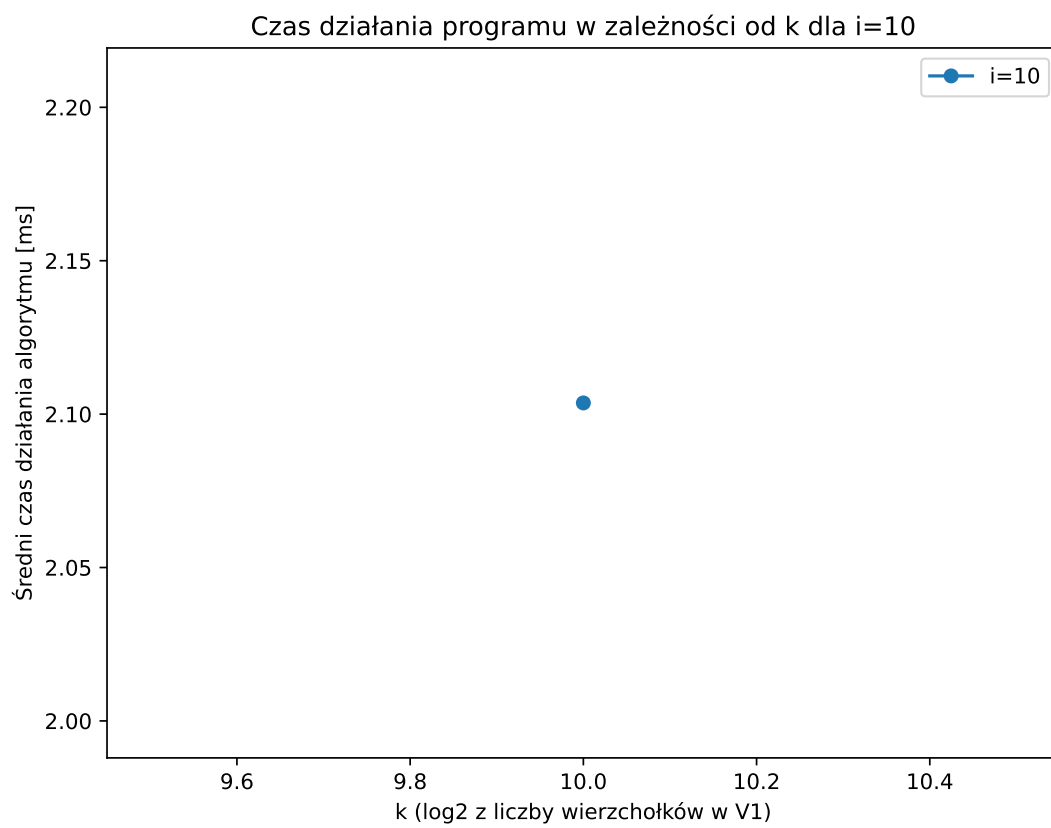
Rysunek 18: Czas wykonania algorytmu w zależności od  $i$  dla  $k = 7$



Rysunek 19: Czas wykonania algorytmu w zależności od  $i$  dla  $k = 8$



Rysunek 20: Czas wykonania algorytmu w zależności od  $i$  dla  $k = 9$



Rysunek 21: Czas wykonania algorytmu w zależności od  $i$  dla  $k = 10$